

[6] Горбунов В.А., Никольская Л.С., Петрухин А.И., Пушкикарлик В.А., Рыбаков В.А.—Квантовая электроника, 1984, т. 11, № 2, с. 349–354.

Институт высоких  
температур АН СССР

Поступило в Редакцию  
21 марта 1988 г.

Письма в ЖТФ, том 14, вып. 13

12 июля 1988 г.

ФЛУКТУАЦИИ ШИРИНЫ КВАНТОВЫХ ЯМ  
И НИЗКОТЕМПЕРАТУРНАЯ ФОТОЛЮМИНЕСЦЕНЦИЯ  
 $GaAs/AlGaAs$  КВАНТОВОРАЗМЕРНЫХ СТРУКТУР,  
ПОЛУЧЕННЫХ МОС-ГИДРИДНЫМ МЕТОДОМ

А.Г. Машевский, М.А. Синицын,  
Д.Р. Строганов, О.М. Федорова,  
Б.С. Явич

В работе [1] сообщалось о выращивании МОС-гидридным методом газофазной эпитаксии при атмосферном давлении в системе  $Ga(CH_3)_3-Al(CH_3)_3-AsH_3-H_2$   $GaAs/Al_xGa_{1-x}As$  ( $x \approx 0.3$ ) квантоворазмерных структур (КРС). Из результатов фотолюминесцентных исследований (77 К и 300 К) и данных просвечивающей электронной микроскопии следовало, что в полученных КРС ямы шириной  $L_z = 50-100 \text{ \AA}$  имеют близкую к прямоугольной форму при шероховатости гетерограниц, не превышающей двух монослоев.

В настоящей работе приводятся результаты исследования спектров низкотемпературной фотолюминесценции (НТФЛ) таких структур. Изучение примесных и экситонных полос излучения при варьировании мощности возбуждения в широких пределах позволило получить данные о характере распределения акцепторных примесей в КРС и о продольных размерах островковых увеличений ширины слоев  $GaAs$  в КРС, обуславливающих энергетическое положение и форму экситонной полосы фотолюминесценции (ФЛ) [2, 3].

Исследовавшиеся КРС состояли из слоев  $GaAs$  с толщинами около 300, 100 и 50  $\text{\AA}$ , разделенных и ограниченных сверху барьерными слоями  $Al_{0.3}Ga_{0.7}As$  толщиной  $L_B = 300 \text{ \AA}$ . Условия выращивания структур приведены в работе [1]. Качество материала слоев, составляющих КРС, предварительно оценивалось по результатам холловских и фотолюминесцентных измерений эпитаксиальных слоев  $GaAs$  и  $AlGaAs$  толщиной 1–2 мкм, выращенных в идентичных режимах. Нелегированные слои  $GaAs$  имели  $n$ -тип проводимости, концентрация носителей в них составляла  $(2-5) \cdot 10^{15} \text{ см}^{-3}$ . Основные акцепторные примеси в  $GaAs$  идентифицированы как углерод, цинк и магний [4]. Слои  $Al_xGa_{1-x}As$  ( $x \approx 0.3$ ) были, как правило, высокоомными, либо имели  $n$ -тип проводимости и концентрацию свободных носителей  $\sim 5 \cdot 10^{16} \text{ см}^{-3}$ . Эти слои обладали

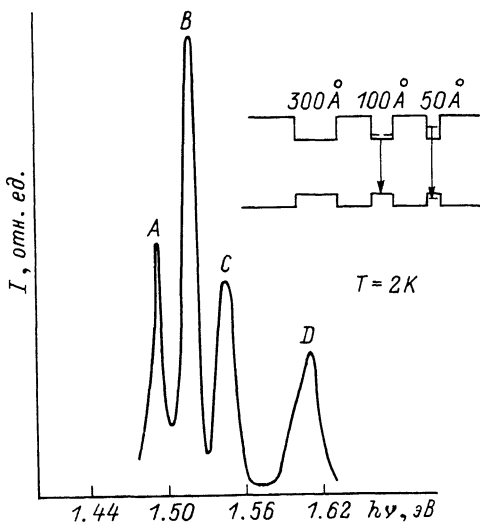


Рис. 1. Спектр НТФЛ  $\text{GaAs} - \text{AlGaAs}_x$  квантоворазмерной структуры при  $T = 2$  К,  $\lambda_{\text{возб}} = 4888$   $\text{\AA}$  и плотности возбуждения  $P = 150$  Вт/ $\text{см}^2$ .

хорошими излучательными свойствами: в спектрах ФЛ наблюдалась краевая полоса, которая при 77 К и плотности возбуждения  $P = 10^2$  Вт/ $\text{см}^2$  по интенсивности на порядок превосходила акцепторную. Однако достигнутый уровень чистоты слоев не обеспечивал преобладания экситонного канала излучательной рекомбинации в исследовавшихся КРС при относительно малых плотностях возбуждения.

Спектры НТФЛ ( $T = 2$  К) регистрировались с помощью монохроматора ДФС-12 с разрешением 0.2 мэВ. В качестве источника возбуждения использовался  $\text{Ar-Kr}$  лазер с энергией фотонов 2.54 эВ. Плотность возбуждения изменялась в пределах от 0.2 до 200 Вт/ $\text{см}^2$ .

На рис. 1 приведен спектр НТФЛ КРС, измеренный при  $P = 150$  Вт/ $\text{см}^2$ . Спектр состоит из четырех полос. Полосы А и В с максимумами при  $h\nu = 1.5140$  и  $1.4914$  эВ соответствуют экситонной и акцепторной рекомбинации в слое  $\text{GaAs}$  шириной 300  $\text{\AA}$ . Полосы С и D с  $h\nu = 1.5532$  и  $1.6223$  эВ обусловлены люминесценцией из ям с  $U_g \approx 100$  и 50  $\text{\AA}$  соответственно.

На рис. 2, а приведены спектры ФЛ из ямы шириной 100  $\text{\AA}$ , записанные при различных уровнях возбуждения. При  $P \leq 20$  Вт/ $\text{см}^2$  основной вклад в ФЛ дают акцепторные переходы ( $h\nu \approx 1.543$  эВ). При увеличении  $P$  выше 30 Вт/ $\text{см}^2$  доминирующим в спектре ФЛ становится коротковолновое излучение, обусловленное экситонной рекомбинацией. При этом отчетливо проявляются два экситонных

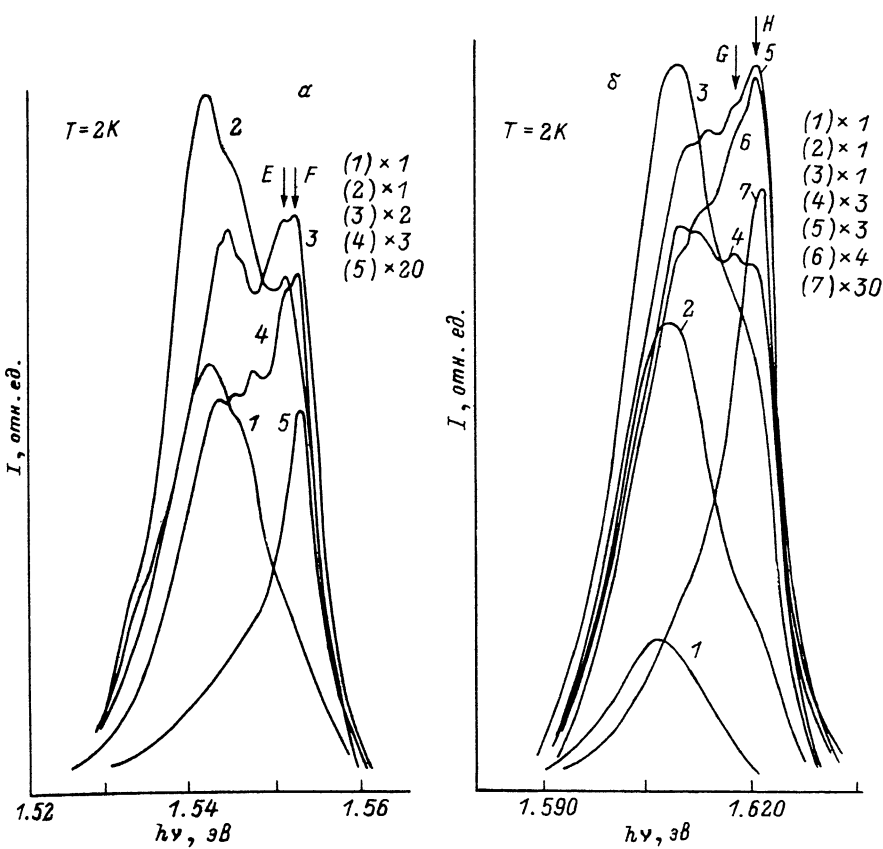


Рис. 2. а) Спектры НТФЛ из квантовой ямы с  $L_z \approx 100 \text{ \AA}$  при плотностях возбуждения  $P$ : 1 - 8.1, 2 - 19, 3 - 32, 4 - 42, 5 - 128  $\text{Вт}/\text{см}^2$ . б) Спектры НТФЛ из квантовой ямы с  $L_z \approx 50 \text{ \AA}$  при плотностях возбуждения  $P$ : 1 - 2.1, 2 - 8.1, 3 - 19; 4 - 32, 5 - 42, 6 - 51, 7 - 215  $\text{Вт}/\text{см}^2$ .

максимума: Е с  $h\nu = 1.5516 \text{ эВ}$  (основной при  $P \approx 20 \text{ Вт}/\text{см}^2$ ) и F с  $h\nu = 1.5531 \text{ эВ}$  ( $P \geq 40 \text{ Вт}/\text{см}^2$ ). Присутствие двух экситонных максимумов, отстоящих один от другого на 1.5–2 мэВ, может быть объяснено наличием монослоистых крупномасштабных флюктуаций ширины квантовой ямы с характерным размером  $L_a$  в плоскости гетерограницы, достаточным для локализации квазидвумерного экситона [2, 3]. О малой дисперсии  $L_a$  также свидетельствует отсутствие изменения спектрального положения экситонных максимумов с повышением плотности возбуждения. Половина ширины полосы излучения из ямы с  $L_z \approx 100 \text{ \AA}$  при  $P = 200 \text{ Вт}/\text{см}^2$  составляет 6.4 мэВ.

В акцепторной полосе проявляются переходы, обусловленные акцепторами, расположенными на краю ямы. Лишь при наиболее низких

плотностях возбуждения наблюдается слабое длинноволновое плечо ( $\hbar\nu \approx 1.534$  эВ), соответствующее переходам на акцептор в центре ямы. Сложная структура акцепторной полосы, по-видимому, обусловлена присутствием нескольких типов акцепторов в твердом растворе и в  $GaAs$  [4], а также наличием крупномасштабных флуктуаций ширины ямы, приводящих к изменению спектрального положения переходов первый электронный уровень — акцептор на краю ямы.

В спектрах НТФЛ из ямы шириной  $L_z \approx 50$  Å (рис. 2, б), как и в случае ямы с  $L_z \approx 100$  Å, при низких уровнях возбуждения доминирует акцепторная полоса. По мере увеличения плотности возбуждения, начиная с  $P = 40$  Вт/см<sup>2</sup>, преобладающим в спектрах ФЛ становится коротковолновое экситонное излучение, в котором также наблюдаются два максимума  $G$  и  $H$ , но расстояние между ними составляет 5 мэВ. Эта величина соответствует сдвигу в энергетическом положении перехода  $1e \rightarrow 1hh$  в яме с  $L_z = 50$  Å при изменении  $L_z$  на один монослоист.

Таким образом, можно выделить следующие особенности  $GaAs/AlGaAs$  КРС, полученных МОС-гидридным методом при атмосферном давлении: а) акцепторные примеси в квантовых ямах сосредоточены в основном вблизи гетерограницы, что проявляется в спектрах НТФЛ при малых плотностях возбуждения; б) флуктуации ширины квантовых ям обусловлены формированием на гетерограницах островков (ступеней) монослоистой толщины с характерным размером  $l_a$  в плоскости ямы, достаточным для локализации экситона, т.е.  $l_a \geq 300$  Å.

В заключение авторы выражают признательность Ж.И. Алферову за интерес и внимание к работе.

## Л и т е р а т у р а

- [1] Коваленков О.В., Машевский А.Г., Синицын М.А., Федорова О.М., Явич Б.С. — Письма в ЖТФ, 1988, т. 14, в. 3, с. 222–224.
- [2] Копьев П.С., Мельцер Б.Я., Уральцев И.Н. Эфрос А.Л., Яковлев Д.Р. — Письма в ЖЭТФ, 1985, т. 42, в. 8, с. 327–330.
- [3] Deveaud B., Regreny A., Emery J.Y. — J. Appl. Phys., 1986, v. 59, N 5, p. 1633–1640.
- [4] Зорин А.Д., Карагаев Е.Н., Машевский Синицын М.А. — ФТП, 1986, т. 20, в. 12, с. 2163–2168.

Физико-технический  
институт им. А.Ф. Иоффе  
АН СССР, Ленинград

Поступило в Редакцию  
21 апреля 1988 г.